

### КОНТАКТ ЖЕСТКОЙ СФЕРИЧЕСКОЙ НЕРОВНОСТИ С УПРУГОПЛАСТИЧЕСКИМ ПОЛУПРОСТРАНСТВОМ

*Рассмотрено внедрение жесткой сферической неровности в упругопластическое полупространство. На основе подобия деформационных характеристик получены выражения для площади контакта и средних напряжений в зависимости от степени нагруженности.*

**Ключевые слова:** упругопластический контакт, внедрение сферы, пластическая твердость.

Для решения контактных задач в трибологии широко используется дискретная модель шероховатости. Микронеровности (в дальнейшем – неровности) представляются в виде простых геометрических тел, для которых имеются решения контактных задач. Затем решение для единичной неровности распространяют на все контактирующие неровности при условии, что общая приложенная нагрузка равна сумме нагрузок, приложенных к каждой неровности. В зависимости от условий контактирования возможен различный характер деформирования неровностей: упругий, упругопластический, жесткопластический.

Для определения характера деформирования необходимо обладать достоверным критерием пластичности. Этот вопрос подробно рассмотрен в работе [1], когда взаимным влиянием неровностей можно пренебречь, а также в работах [2, 3], где учтено взаимное влияние неровностей. Рассмотрим внедрение сферической неровности в упругопластическое полупространство без учета влияния остальных неровностей. Согласно данным [1], эквивалентные напряжения на площадке контакта, определенные по разным теориям прочности, имеют разные значения, тогда как эквивалентные напряжения на оси  $z$ , определенные по разным теориям прочности, совпадают. Согласно критериям максимального касательного напряжения Треска, пластическая деформация на оси  $z$  соответствует эквивалентному напряжению

$$\sigma_{\text{экр}} = |\sigma_3 - \sigma_1| = 2\tau_{1\text{max}} = 0,62q_0 = \sigma_Y$$

и при  $\mu = 0,3$  находится на расстоянии  $z = 0,481 a$

Здесь  $\sigma_1, \sigma_3$  – главные напряжения;  $\tau_{1\text{max}}$  – максимальное касательное напряжение;  $q_0$  – максимальное напряжение на площадке контакта;  $\sigma_Y$  – предел текучести;  $\mu$  – коэффициент Пуансона. При этом максимальное контактное давление

$$q_0 = 1,613\sigma_Y.$$

В общем случае максимальное контактное давление, при котором начинается пластическая деформация, можно представить формулой

$$q_{0P} = K_Y \sigma_Y, \quad (1)$$

где  $K_Y$  – константа.

По данным [4],  $K_Y$  имеет значение от 0,5 до 2,1. В работах Н.Б. Демкина, посвященных контактированию шероховатых поверхностей, значение  $K_Y$  близко к 3.

Очевидно, что в контактных задачах трибологии интерес представляет начало пластической деформации на поверхности контакта, чем можно объяснить, что  $K_Y > 1,613$ , т. е. больше, чем для начала пластической деформации в приповерхностном слое.

Согласно [1], наибольшее значение эквивалентного напряжения  $\sigma_{\text{экр}}(\rho)$  имеет место на краю площадки контакта ( $\rho = 1$ ), где оно незначительно превышает значение в центре площадки контакта ( $\rho = 0$ ). Эквивалентное напряжение на краю площадки представлено в виде

$$\sigma_{\text{экр}}(1) = K_{\sigma} \sigma_{\text{экр}}(0).$$

По энергетической теории сдвиговой деформации  $K_{\sigma} = 1,16$ , по теории максимальных касательных напряжений  $K_{\sigma} = 1,33$ , по теории максимального приведенного напряжения  $K_{\sigma} = 1$ .

Максимальное контактное давление на площадке, при котором имеет место пластическая деформация,

$$q_{0P} = \frac{2}{K_{\sigma}(1-2\mu)} \sigma_Y. \quad (2)$$

Т. е., в этом случае

$$K_Y = \frac{2}{K_{\sigma}(1-2\mu)}.$$

Для значений  $\mu = 0,27 \dots 0,33$  и  $K_{\sigma} = 1,16$  имеем  $K_Y = 3,75 \dots 5,07$ .

Развитый пластический отпечаток (образование лунки) получаем, когда эквивалентное напряжение в центре площадки контакта достигнет предела текучести. В этом случае  $K_{\sigma} = 1$ , и для значений  $\mu = 0,27 \dots 0,33$  получим  $K_Y = 4,35 \dots 5,88$ , для  $\mu = 0,3 - K_Y = 5,0$ .

Таким образом, можно утверждать, что развитый пластический отпечаток на площадке контакта образуется, когда максимальное контактное

\* - автор, с которым следует вести переписку.

напряжение в центре площадки контакта достигает пластической твердости  $HD$ , так как, по данным [5], для углеродистых сталей  $HD = 5 \sigma_Y$ .

При упругом контакте сферической неровности радиусом  $r$  связь величины усилия  $N_{ei}$  и деформации  $h_i$  определяется по Герцу:

$$N_{ei} = \frac{4 h_i^2 r^2}{3 \Theta}, \quad (3)$$

где  $\Theta = (1 - \mu^2) / E$ ;  $E$  – модуль упругости.

Приведенное выражение справедливо при  $h_i < h_Y$ , где  $h_Y$  – величина деформации, соответствующая появлению первого пластического отпечатка. По теории Герца, величина  $h_Y$  и соответствующее ей усилие  $N_Y$  определяются выражениями

$$h_Y = \frac{\pi^2}{4} r \theta^2 HD^2; \quad (4)$$

$$N_Y = \frac{\pi^3}{6} r^2 \theta^2 HD^3. \quad (5)$$

При величине деформации  $h_i > h_Y$  происходит упругопластический контакт, который характеризуется наличием необратимых деформаций. В этой области упругая составляющая  $h_e$  с увеличением усилия постепенно уменьшается, а величина пластической деформации  $h_p$  увеличивается. Общая деформация упругопластической области [5].

$$h_i = h_e + h_p; \quad (6)$$

$$h_e = \frac{h_0}{\sqrt[3]{1 + 2h_p/h_e}}; \quad (7)$$

$$h_p = \frac{N_i - N_Y}{2\pi r HD}, \quad (8)$$

где  $h_0$  – величина деформаций, определяемая по теории Герца

$$h_0 = \left( \frac{9 N_i^2 \Theta^2}{16 r} \right)^{\frac{1}{3}}. \quad (9)$$

Заменим абсолютную нагрузку ее относительной величиной  $k = N_i / N_Y$ . Используя подобие деформационных характеристик, предложенных в работе [6], выражение (8) и (9) представим в виде

$$h_p = h_Y (k - 1) / 3, \quad (10)$$

$$h_0 = h_Y k^{\frac{2}{3}}. \quad (11)$$

С учетом выражений (10), (11) из (7) получим

$$\left( \frac{h_Y}{h_e} \right)^3 - \frac{2(k-1)}{3k^2} \left( \frac{h_Y}{h_e} \right) - \frac{1}{k^2} = 0, \quad k \geq 1. \quad (12)$$

Выражения (10)...(12) отличаются тем, что величины деформаций определяются только степенью нагружения  $k$  и величиной  $h_Y$ .

Решение уравнения (12) представим в виде

$$\frac{h_e}{h_Y} = \left( \sqrt[3]{-q + \sqrt{D}} + \sqrt[3]{-q - \sqrt{D}} \right)^{-1}, \quad (13)$$

где  $q = -\frac{1}{2k^2}$ ;  $p = -\frac{2(k-1)}{9k^2}$ ;  $D = q^2 + p^3$ .

С достаточной для инженерных расчетов точностью выражение (13) можно аппроксимировать зависимостью

$$\frac{h_e}{h_Y} = k^{0.528}. \quad (14)$$

При этом для  $1 \leq k \leq 1000$  относительная погрешность не превышает 4 %, а ее среднее значение менее 1 %.

Зависимости общей относительной деформации и ее составляющих (10) и (13) от относительной нагрузки представлены на рис. 1.

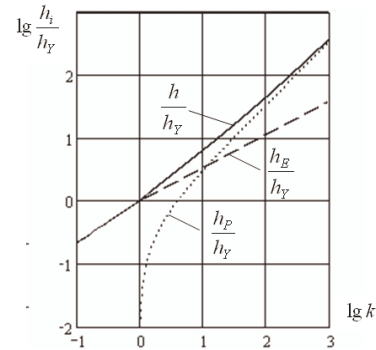


Рис. 1. Зависимость относительной деформации от относительного коэффициента нагрузки

Фактическая площадь контакта при деформации единичной неровности на величину  $h_i$

$$A_{ri} = \alpha_i 2\pi r h_i, \quad (15)$$

где  $\alpha_i$  – коэффициент, характеризующий напряженное и критическое состояние материала в зоне контакта. Для упругопластического контакта, т. е. при  $k \geq 1$   $\alpha_i = 0.5...1$ .

Согласно данным [5], площадь контакта единичной сферической неровности при упругопластическом контакте

$$A_{ri} = 2\pi r (h_p + 0.5h_e). \quad (16)$$

Приравняв выражения (15) и (16), с учетом выражений (6), (10) и (14) получим

$$\alpha_i = \frac{h_p + 0.5h_e}{h_p + h_e} = \frac{k-1+1.5k^{0.528}}{k-1+3k^{0.528}}, \quad k \geq 1. \quad (17)$$

Средние контактные напряжения на площадке контакта

$$q_{mi} = \frac{N_i}{A_{ri}} = \frac{N_Y k}{\alpha_i 2\pi r h_i}, \quad k \geq 1$$

С учетом выражений (4), (5), (6), (10), (14) и (17) имеем

$$\frac{q_{mi}}{HD} = \frac{k}{k-1+1.5k^{0.528}}, \quad k \geq 1 \quad (18)$$

При упругом контакте, т. е. при  $k \geq 1$

$$\frac{q_{mi}}{HD} = \frac{2}{3} k^{\frac{1}{3}}.$$

Полученные зависимости (17) и (18) представлены на рис. 2.

При анализе графических зависимостей следует иметь в виду, что переход от упругого контакта к упругопластическому происходит плавно, ибо пластическая деформация в микрообъемах материала возникает до того, как расчетные зависимости достигают пластической твердости в центре площадки контакта. Отсюда изображенный на графике  $\alpha(k)$  излом при переходе от упругой к упругопластической деформации следует рассматривать, как схематизацию процесса на границе, которая сама по себе является условной. Следовательно, пик на зависимости  $\frac{q_m}{HD}(k)$  также уменьшится.

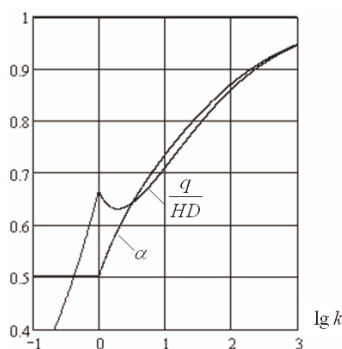


Рис. 2. Изменение относительного контактного давления  $q/HD$  и коэффициента  $\alpha$  с ростом относительной нагрузки

Следует указать, что аналогичный вид имеет диаграмма вдавливания шара, построенная в координатах нагрузка – степень деформации [7, с. 22].

Таким образом, используя выражения (6), (10), (14), (15), (17) и (18), при известной относительной нагрузке  $k$  можно определить контактные характеристики в случае внедрения сферы в упругопластическое полупространство. Однако при контактировании шероховатой поверхности с упругопластическим полупространством удобнее определять нагрузку на отдельных поверхностях для известной величины деформации с целью последующего их суммирования и приравнивания к общей нагрузке. В этом случае следует использовать следующую зависимость:

$$k = \frac{N_i}{N_Y} = 3 \left( \frac{h_i}{h_Y} \right) - 3.4 \left( \frac{h_i}{h_Y} \right)^{0.6} + 1.4. \quad (19)$$

Тогда с учетом выражений (10), (19) и того, что из (15) и (16)

$$\alpha_i = \frac{h_p + 0.5h_e}{h_i} = 0.5 \left( 1 + \frac{h_p}{h_i} \right),$$

получим

$$\alpha_i = 1 - \frac{17}{30} \left( \frac{h_Y}{h_i} \right)^{0.4} + \frac{1}{15} \left( \frac{h_Y}{h_i} \right); \quad (20)$$

$$A_{ri} = 2\pi r \left( h_i - \frac{17}{30} h_i^{0.6} h_Y^{0.4} + \frac{1}{15} h_Y \right). \quad (21)$$

Последнее выражение, описывающее площадь контакта отдельной неровности при упругопластическом контакте, следует использовать для определения площади контакта шероховатой поверхности с полупространством.

При учете взаимного влияния поверхности необходимо учитывать изменения условий начала пластической деформации согласно работам [2, 3].

### Литература

1. Огар, П. М. Критерий пластичности при контактировании шероховатых поверхностей / П. М. Огар, А. А. Дайнеко, С. С. Ключ // Механика XXI века. – Братск: БрГУ, 2007. – С. 309-319.
2. Огар, П. М. Определение начала пластической деформации при моделировании контакта шероховатых поверхностей / П. М. Огар, А. А. Дайнеко, С. С. Ключ // Математическое моделирование, численные методы и комплексы программ: межвуз. темат. сб. тр. – СПб.: СПбГАСУ, 2007. Вып.3. – С. 182-192.
3. Огар, П. М. Контактное взаимодействие шероховатых поверхностей: фрактальный подход / П. М. Огар, Д. Б. Горохов. – Братск: Изд-во БрГУ, 2007. – 171 с.
4. Majumdar A, Bhushan B. Role of Fractal Geometry in Roughness Characterization and Contact Mechanics of Surfaces // ASME Journal of Tribology. – 1990. – Vol. 112. – P. 205-216.
5. Дрозд, М. С. Инженерные расчеты упругопластической контактной деформации / М. С. Дрозд, М. М. Матлин, Ю. И. Сидякин. – М.: Машиностроение, 1986. – 234 с.
6. Ланков, А. А. Деформирование металлов сферой и подобие деформационных характеристик в упругопластической области / А. А. Ланков // Фрикционный контакт деталей машин. – Калинин: КГУ, 1984. – С. 40-46.
7. Марковец, М. П. Определение механических свойств металлов по твердости / М. П. Марковец. – М.: Машиностроение, 1979. – 191 с.